

# طبقه بندی کننده مبتنی بر DEA فازی و کاربردهای آن در مدیریت مراقبت های بهداشتی

دانشجو: شایان رادی

استاد: دکتر محسن رستمی مال خلیفه

## چکیده

مدل های طبقه بندی فازی غیرخطی عملکرد طبقه بندی بهتری نسبت به طبقه بندی کننده های فازی خطی دارند. در بسیاری از مسائل طبقه بندی فازی غیرخطی، توابع تفکیک فازی تکه ای خطی می توانند توابع تفکیک فازی غیرخطی را تقریبی کنند. در این مقاله، ابتدا طبقه بندی کننده فازی بر اساس تحلیل پوششی داده ها (DEA) برای داده های آموزشی فازی قابل تفکیک افزایشی ساخته می شود که می تواند به طور گسترده در مدیریت مراقبت های بهداشتی با ویژگی های فازی اعمال شود، سپس طبقه بندی کننده مبتنی بر DEA فازی پیشنهادی را در تشخیص اعمال می کنیم. کرونری با علائم فازی و طبقه بندی مجموعه داده های سرطان پستان با اختلال فازی. آزمایش های عددی نشان می دهند که طبقه بندی کننده مبتنی بر DEA فازی دقیق و قوی است.

**کلمات کلیدی** تحلیل پوششی داده های فازی، دستگاه طبقه بندی DEA، تجزیه و تحلیل متمایز خطی تکه ای، مجموعه آموزشی فازی، مدیریت بهداشت و درمان

## ۱ مقدمه

داده کاوی یک روش مهم مدیریت دانش و مدیریت مراقبت های بهداشتی است [۱]، الگوریتم داده کاوی کلاسیک داده ها را دقیق فرض می کند، اما در برخی از برنامه ها، داده هایی که قرار است پردازش شوند به ندرت دقیقاً تعیین می شوند. عدم قطعیت با انواع مختلف در ساختار آنها کم و بیش پنهان است: عدم دقت یا تقریب، تصادفی و همچنین مهم. آخرین نوع عدم قطعیت اغلب با ویژگی های زبان طبیعی مورد استفاده در فرآیند جمع آوری داده ها مرتبط است. در ارتباط بین مردم، میزان مشخصی از ابهام نه تنها قابل قبول است، بلکه حتی مفید است. در تشخیص بیماری، برخی از علائم یک بیماری نیز مبهم هستند. به نظر می رسد جهان نسبتاً نامطمئن تر از نتایجی است که قصد بیان آن را دارند. در نتیجه، توسعه ابزارهای ریاضی کافی برای پردازش ابهامات بسیار ضروری شد.

از زمان معرفی آن توسط لطفی زاده، تئوری مجموعه های فازی به طور پرباری در بسیاری از حوزه ها مورد استفاده قرار گرفته است. داده کاوی یکی از زمینه های مهم کاربرد آن است. در اوایل ظهور داده کاوی، چندین کار استفاده از تئوری مجموعه های فازی را در این حوزه پیشنهاد کرده اند.

مشارکت مجموعه های فازی در داده کاوی گوناگون است: افزایش قابلیت تفسیر، افزایش استحکام فرآیند و مدیریت اطلاعات نامشخص. هر دو با معرفی تئوری مجموعه های فازی برای ایجاد مدل داده کاوی فازی ارائه می شوند که به آن فرآیند ظرفیت استخراج اطلاعات پیچیده را ارائه می دهد که پردازش آن در یک محیط کلاسیک دشوار است. استحکام فرآیند آن را قادر می سازد نتایج مشابهی را هنگام مواجهه با داده ها با تغییرات کوچک (به عنوان نمونه در حضور نویز) ایجاد کند.

داده کاوی قصد دارد تا مدلی را بر اساس مجموعه داده هایی که دانش پس زمینه ای را ارائه می دهند راه اندازی کند. مدل را می توان دانش جدیدی دانست که از یادگیری تولید می شود، می تواند به اشکال مختلف باشد: به عنوان مثال. تابع ریاضی، شبکه عصبی، پایه قوانین، الگوها، قوانین تداعی.

تکنیک های داده کاوی مزایای متعددی را در مدیریت مراقبت های بهداشتی ارائه می دهند [۲، ۳] مانند تشخیص علت بیماری ها، شناسایی روش های درمانی پزشکی، ساختن سیستم های توصیه دارو، توسعه پروفایل سلامت افراد، سیاست های تحقیقاتی مراقبت های بهداشتی، حتی تشخیص تقلب در بیمه سلامت. فن آوری های داده کاوی می توانند با گروه بندی بیماران مبتلا به انواع بیماری های مشابه، مزایایی را برای مراقبت های بهداشتی فراهم کنند تا سازمان های مراقبت های بهداشتی درمان های بهتری برای آنها ارائه دهند.

داده کاوی فازی توسعه داده کاوی است که در آن مدل سازی مجموعه های فازی معرفی شده است. بسیاری از الگوریتم های کلاسیک داده کاوی به موارد فازی گسترش یافته اند [۴-۷]. بسط یک الگوریتم کلاسیک برای ایجاد یک الگوریتم یادگیری فازی کار جالبی است. مقالات زیادی در مورد درختان تصمیم فازی [۸-۱۰]، در ساخت پایه قوانین فازی [۱۱-۱۳] و روش هسته فازی [۱۴-۱۸] منتشر شده است. چالش در چنین موردی پیشنهاد الگوریتمی است که هم بتواند ورودی فازی را مدیریت کند و هم ویژگی های اصلی الگوریتم کلاسیک را برآورده کند.

طبقه بندی به عنوان یک روش داده کاوی مهم، یک سیستم سازماندهی مبتنی بر شباهت ها و تفاوت ها، یک روش مهم پیش بینی (تصمیم گیری) است و به طور گسترده در مدیریت مراقبت های بهداشتی [۲، ۱۹] و نظارت بر بیماری ها و هشدار اولیه [۲۰] استفاده می شود. هدف طبقه بندی این است که با ارزیابی مجموعه ای از مقادیر مشخصه به گروه خاصی تعلق دارد یا خیر، تکنیک ها و روش های ماشین طبقه بندی مرسوم را می توان در آثار هان و کامبر [۲۱] یافت. در عمل، یک سیستم تصمیم گیری مراقبت های بهداشتی تعیین می کند که آیا یک بیمار با توجه به برخی از شاخص های علائم و شرایط فیزیکی مشخص، بیماری دارد یا خیر، در اصل، تشخیص بیماری ها یک مشکل طبقه بندی است.

تجزیه و تحلیل پوششی داده ها (DEA) برای ارزیابی کارایی نسبی در بین تعداد معینی از واحدهای تصمیم گیری (DMUs) با ورودی های متعدد و خروجی های متعدد، با حل مسائل برنامه ریزی خطی برای هر DMU استفاده می شود. مدل های شناخته شده DEA شامل مدل CCR توسط Charnes et al می باشد. [۲۲] و مدل BCC توسط Bunker et al. [۲۳].

DEA عمدتاً در ارزیابی عملکرد استفاده می شود [۲۴-۲۶]. علاوه بر ارزیابی عملکرد، DEA را می توان در طبقه بندی نیز به کار برد. [۲۷]. در کارهای آنها، حوزه های پذیرش ساخته شد و یک سیستم تصمیم گیری مبتنی بر نمونه ارائه شد که بر اساس نمونه های از پیش تعیین شده توسط کارشناسان، در مورد پذیرش یا رد ریسک اعتباری تصمیم گیری می کند. بر اساس مدل DEA، دو رویکرد برنامه ریزی ریاضی جدید برای به حداقل رساندن مجموع انحرافات و برای مفهوم کارایی نسبی DEA در حل دو مسئله طبقه بندی گروهی توسعه داده شده است [۲۸]. یان و وی [۲۹] یک رابطه هم ارزی بین ماشین طبقه بندی DEA و مدل DEA ایجاد کردند و سپس یک ماشین طبقه بندی مبتنی بر DEA ایجاد کردند که در آن طبقه بندی داده ها معادل آزمایش اینکه آیا یک DMU خاص در مجموعه امکان تولید قرار دارد یا خیر. در تمام طبقه بندی کننده های مبتنی بر DEA که در بالا ذکر شد، همه آنها بر اساس داده های دقیق هستند، وی [۳۰] طبقه بندی کننده هایی را برای مقابله با مشکلات طبقه بندی باینری با داده های بازه ای توسعه داد، اگرچه دارای برخی عدم قطعیت ها، همچنین بدون ابهام است، بنابراین ساختن آن بسیار ضروری است. طبقه بندی کننده بر اساس DEA فازی برای داده های آموزش فازی.

در این مقاله، یک طبقه بندی کننده فازی جدید مبتنی بر DEA ساخته شده است. ما ابتدا ماشین طبقه بندی تحلیل پوششی داده های فازی را برای داده های آموزش فازی یکنواختی شرطی معرفی می کنیم. سپس آزمایش هایی بر روی مجموعه داده های فازی واقعی و مجموعه داده های UCI مختل برای اثبات صحت و کارایی مدل پیشنهادی انجام می شود.

## ۲ پیشینه

در این بخش ابتدا مفاهیم و مدل های مرتبط DEA، DEA فازی و ماشین طبقه بندی DEA را بررسی می کنیم، سپس تعاریف پایه ای در مورد اندازه گیری امکان و برنامه ریزی محدود شانس فازی ارائه می کنیم، چند قضیه مهم اثبات می شوند.

### ۲.۱ تحلیل پوششی داده ها

فرض کنید DMU  $n$ ، وجود دارد که هر کدام از  $S$  ورودی ها  $m$  خروجی تولید می کنند.  $DMU_0$ ،  $DMU$  است که باید ارزیابی شود.  $DMU_k$  از بسته ورودی  $x_k = (x_{1k}, x_{2k}, \dots, x_{sk})$  برای تولید بسته خروجی  $y_k = (y_{1k}, y_{2k}, \dots, y_{mk})$  استفاده می کند. یک مدل استاندارد DEA برای ارزیابی  $DMU_0$ ، معروف به مدل CCR [۲۲]، در مدل فرموله شده است:

$$\begin{cases} \max \sum_{i=1}^m \mu_i y_{i0} \\ \sum_{i=1}^m \mu_i y_{ik} - \sum_{j=1}^s \omega_j x_{jk} \leq 0, (k = 1, 2, \dots, n); \\ \sum_{j=1}^s \omega_j x_{j0} = 1; \\ \mu_i \geq 0, \omega_j \geq 0, (i = 1, 2, \dots, m; j = 1, 2, \dots, s); \end{cases} \quad (1)$$

مدل های ارزیابی کارایی بالا مدل های CCR نامیده می شوند که فرم های خروجی گرا هستند.

شکل دوگانه این مدل (۱) به صورت زیر است:

$$\begin{cases} \min \theta \\ \sum_{k=1}^n \lambda_k x_{jk} \leq \theta x_{j0}, (j = 1, 2, \dots, s); \\ \sum_{k=1}^n \lambda_k y_{ik} \geq y_{i0}, (i = 1, 2, \dots, m); \\ \lambda_k \geq 0, (k = 1, 2, \dots, n). \end{cases} \quad (2)$$

ماهیت مدل های CCR یافتن بردار وزن بهینه برای به حداکثر رساندن وزن آن برای ورودی ها و خروجی ها است که امتیاز کارایی DMU تحت ارزیابی را به حداکثر می رساند.

## ۲.۲ تحلیل پوششی داده های فازی

به منظور ارزیابی کارایی با داده های فازی، تئوری مجموعه های فازی به عنوان راهی برای کمی سازی داده های مبهم و مبهم در مدل های DEA پیشنهاد شده است. مدل های فازی DEA شکل مدل های برنامه ریزی خطی فازی را اتخاذ می کنند. مدل CCR با داده های فازی به صورت زیر ارائه می شود:

$$\begin{cases} \max \sum_{i=1}^m u_i \tilde{y}_{i0} \\ \sum_{i=1}^m u_i \tilde{y}_{ik} - \sum_{j=1}^s v_j \tilde{x}_{jk} \leq \tilde{0} \\ \sum_{j=1}^s v_j \tilde{x}_{j0} = 1 \\ u_i \geq 0, v_j \geq 0 (i = 1, 2, \dots, m; j = 1, 2, \dots, s); \end{cases} \quad (3)$$

جایی که ورودی  $\tilde{x}_i (i = 1, 2, \dots, m)$  و خروجی  $\tilde{y}_i (i = 1, 2, \dots, s)$  هر دو اعداد فازی هستند.

چندین روش فازی برای حل مدل DEA فازی [۳۱] پیشنهاد شده است، روش های DEA فازی را می توان به پنج گروه زیر طبقه بندی کرد: (۱) رویکرد تحمل [۳۲]; (۲) رویکرد مبتنی بر سطح [۳۳-۳۵].  $\alpha$  رویکرد رتبه بندی فازی [۳۶، ۳۷]; (۴) رویکرد امکان [۳۸، ۳۹]; (۵) سایر تحولات [۴۰-۴۲]. به منظور بهبود قدرت تمایز مدل DEA فازی [۴۳]، DEA فازی متقاطع [۴۴] معرفی شد.

## ۲.۳ دستگاه طبقه بندی DEA (DCM)

Hong Yan و [۲۹] Quanling Wei روش DEA را به طبقه بندی داده های بزرگ گسترش دادند. آنها هر داده را به عنوان یک DMU ارزیابی شده، با مقادیر مشخصه به عنوان ورودی و خروجی واحد از مقدار ۱ در نظر می گیرند. [۴۵، ۴۶] Toloo رویکرد DEA را برای یافتن کارآمدترین واحد مجموعه داده بدون ورودی (خروجی) صریح گسترش داد.

یک نمونه مجموعه داده آموزشی  $\hat{T}$  (با کلاس تک) را در نظر بگیرید

$$\hat{T} = \{x_k \vee k = 1, 2, \dots, n\}$$

جایی که  $x_k \in E^m$  و  $x_k > 0$ ،  $k = 1, 2, \dots, n$ . با استفاده از این قانون در کاوش DEA،  $x_k$  یک DMUs است با مشخصه های مشخصی که توسط  $xk = (x_{1k}, x_{2k}, \dots, x_{sk})^T$  توصیف شده است که  $x_{ik}$  یکمین مقدار مشخصه DMU<sub>k</sub> است.

این مشکل را می توان با مدل  $CCR / \mu_0$  با  $DMU_k$  ورودی داده شده توسط  $x_k$  و خروجی  $y_k = 1 (k = 1, 2, \dots, n)$  توصیف کرد. یعنی مجموعه داده های آموزشی نمونه در مدل  $DEA$  با  $\{(x_k, 1) \vee k = 1, 2, \dots, n\}$  داده می شود.

سپس مدل  $CCR$  با مقدار ورودی-خروجی  $(x_k, 1)$  برای  $DMU_k (k = 1, 2, \dots, n)$  به صورت زیر ارائه می شود:

$$(P) \begin{cases} \max \mu_0 \\ \omega x_k - \mu_0 \geq 0, k = 1, 2, \dots, n; \\ \omega x_0 = 1; \\ \omega \geq 0, \mu_0 \geq 0. \end{cases} \quad (4)$$

جایی که  $DMU_{j_0}$  واحد ارزیابی شده هست و  $1 \leq j_0 \leq n$  و  $x_0 = x_{j_0}$

**تعریف ۲.۱** [۲۸] اگر مقادیر بهینه  $(P)$ ، ۱ باشد،  $DMU_0$  ضعیف  $DEA$  کارآمد نامیده می شود.

برای  $DMU_0$  با کارایی ضعیف  $DEA$ ،  $x_0$  برآورده می شود (توجه داشته باشید که  $\mu_0^0 = 1$  و  $\omega_0 x_0 = 1$ )

$$L: \omega^0 x - 1 = 0$$

$L$  صفحه پشتیبان حوزه پذیرش است و ابر صفحه طبقه بندی نامیده می شود،  $x_0$  در این صفحه قرار دارد.

دامنه پذیرش را می توان به شکل تقاطع آن ارائه کرد:

$$T = \{x \vee \omega^k x - 1 \geq 0, k = 1, 2, \dots, n\}$$

جایی که  $\omega^k$  و  $\mu_0^k = 1 (k = 1, 2, \dots, n)$  جواب های بهینه (۴) هستند. آنگاه، برای  $x \in \hat{T}$ ، طبقه بندی تابع به صورت زیر است:

$$d(x) = \text{sign}(\min_{1 \leq k \leq n} (\omega^k x - \mu_0^k))$$

اگر  $d(x) = 1$ ، آنگاه  $x \in T$  پس  $x \notin T$

## ۲.۴ محاسبه احتمال و برنامه نویسی محدود بر شانس فازی

**تعریف ۲.۲**  $X$  را یک مجموعه ناتهی فرض کنید،  $P(X)$  کلاس همه زیر مجموعه های  $X$  خواهد بود، یک نگاشت.

$Pos: [0,1] \rightarrow P(X)$  یک محاسبه احتمال نام خواهد گرفت اگر شرط زیر را ارضا کند:

$$(1) Pos(\varphi) = 0; (2) Pos(X) = 1 (3) Pos(t \in TA_t) = Sup_{t \in T} \{Pos(A_t)\}.$$

**تعریف ۲.۳** فرض کنید  $\tilde{a}$  یک عدد فازی باشد و تابع عضویت آن عبارت است از:

$$\mu_{\tilde{a}}(x) = \begin{cases} \frac{x - r_1}{r_2 - r_1}, r_1 \leq x < r_2 \\ 1, x = r_2 \\ \frac{x - r_3}{r_2 - r_3}, r_2 < x \leq r_3 \end{cases}$$

جایی که  $r_1 \leq r_2 \leq r_3$  و  $r_1, r_2$  و  $r_3$  اعداد حقیقی هستند.

$\tilde{a}$  یک عدد فازی مثلثی نامیده می شود که  $(r1, r2, r3)$  نشان داده می شود.

کلاس های تمام اعداد فازی مثلثی با  $T/R$  نشان داده می شوند، اگر  $\tilde{x}_i (i = 1, 2, \dots, n)$  همه اعداد فازی باشند،

$\tilde{X} = (\tilde{x}_1, \tilde{x}_2, \dots, \tilde{x}_n)$  را بردار عدد فازی می نامند، کلاس های همه بردارهای اعداد فازی با  $F^n(R)$  کلاس های تمام اعداد فازی نشان داده می شوند، به خصوص زمانی که  $\tilde{x}_i (i = 1, 2, \dots, n)$  هستند. همه اعداد فازی مثلثی، سپس  $\tilde{X} = (\tilde{x}_1, \tilde{x}_2, \dots, \tilde{x}_n)$  را بردار اعداد فازی مثلثی می نامند، کلاس همه بردارهای اعداد فازی مثلثی با  $T^n(R)$  نشان داده می شود.

**تعریف ۲.۴** فرض کنید  $\tilde{a}$  و  $\tilde{b}$  دو عدد فازی باشد، سپس  $\tilde{a} \vee \tilde{b}$  عدد فازی را با تابع عضویت

$$\mu_{\tilde{a} \vee \tilde{b}}(x) = \sup_{s \vee t = x} \{\mu_{\tilde{a}}(s) \wedge \mu_{\tilde{b}}(t)\}$$
 نشان می دهد.

**تعریف ۲.۵** فرض کنید  $\tilde{a}, \tilde{b}$  دو عدد فازی باشند، آنگاه  $\tilde{a} \vee \tilde{b} = \tilde{a} \vee \tilde{b}$   $\Leftrightarrow \tilde{a} \succ \tilde{b}$

**لم ۱ [۴۳]** فرض کنید  $\tilde{a}$  و  $\tilde{b}$  دو عدد فازی باشد، سپس  $\tilde{a} \succ \tilde{b}$  اگر و فقط اگر برای  $\forall h \in [0, 1]$  دو عبارت زیر برقرار باشد:

$$\inf\{s: \mu_{\tilde{a}}(s) \geq h\} \geq \inf\{s: \mu_{\tilde{b}}(s) \geq h\},$$

$$\sup\{s: \mu_{\tilde{a}}(s) \geq h\} \geq \sup\{s: \mu_{\tilde{b}}(s) \geq h\}.$$

طبق لم ۱، ما به سادگی می توانیم لم بعدی را ثابت کنیم.

**لم ۲** فرض کنید  $\tilde{a}, \tilde{b}$  دو عدد فازی باشد، (۱) برای  $\lambda > 0$ ؛  $\lambda \tilde{a} \succ \lambda \tilde{b}$ ؛ (۲) برای هر عدد فازی  $\tilde{c}$ ،  $\tilde{a} + \tilde{c} > \tilde{b} + \tilde{c}$

**تعریف ۲.۶** فرض کنید  $\tilde{a}$  یک عدد فازی،  $\tilde{b}$  یک عدد حقیقی باشد. سپس امکان اندازه گیری رویداد فازی  $\tilde{a} < b$  به صورت زیر تعریف می شود:

$$Pos(\tilde{a} \leq b) = \{\mu_{\tilde{a}}(x) \vee x \in R. x \leq b\}$$

به طور مشابه داریم:

$$Pos(\tilde{a} < b) = \{\mu_{\tilde{a}}(x) \vee x \in R. x < b\}$$

$$Pos(\tilde{a} \geq b) = \{\mu_{\tilde{a}}(x) \vee x \in R. x \geq b\}$$

$$Pos(\tilde{a} = b) = \mu_{\tilde{a}}(b)$$

**قضیه ۱**  $\tilde{a}$  و  $\tilde{b}$  را دو عدد فازی،  $c$  را یک عدد حقیقی، برای یک مرحله احتمال  $\alpha \in [0, 1]$  اگر  $\tilde{a} \succ \tilde{b}$  و  $Pos(\tilde{b} \geq c) \geq \alpha$  آنگاه  $Pos(\tilde{a} \geq c) \geq \alpha$

**اثبات** زیرا  $\tilde{a} \succ \tilde{b}$ ، برای یک  $x$  داده شده،  $t = x$ ، توسط لم ۱، وجود دارد  $s: s \leq t$  به طوری که  $\mu_{\tilde{a}}(s) \leq \mu_{\tilde{b}}(x)$ ، بنابراین  $\mu_{\tilde{a} \vee \tilde{b}}(x) = \sup_{s \vee t = x} \{\mu_{\tilde{a}}(s) \wedge \mu_{\tilde{b}}(t)\} \geq \mu_{\tilde{a}}(s) \wedge \mu_{\tilde{b}}(x) \geq \mu_{\tilde{b}}(x)$  از این رو  $Pos(\tilde{a} \geq c) = \sup\{\mu_{\tilde{a} \vee \tilde{b}}(x) | x \geq c\} \geq \sup\{\mu_{\tilde{b}}(x) | x \geq c\} \geq \alpha$

اگر  $\tilde{X} = (\tilde{x}_1, \tilde{x}_2, \dots, \tilde{x}_n)$  یک بردار اعداد فازی نام دارد، کلاس همه بردارهای اعداد فازی با  $F^n(R)$  نشان داده شده است، به خصوص زمانی که  $\tilde{x}_i (i = 1, 2, \dots, n)$  همه اعداد فازی مثلثی باشند، آنگاه  $\tilde{X} = (\tilde{x}_1, \tilde{x}_2, \dots, \tilde{x}_n)$  یک بردار عدد فازی مثلثی نامیده می شود، تمام بردارهای اعداد فازی مثلثی با  $T^n(R)$  نشان داده می شود.

با پیروی از اصل توسعه زاده، برای تابع  $f: R^n \rightarrow R$  و  $\tilde{y} = f(\tilde{x}_1, \tilde{x}_2, \dots, \tilde{x}_n)$  یک عدد فازی است و تابع عضویت آن عبارت است از:

$$\mu_{\tilde{y}}(v) = \sup_{u_1, u_2, \dots, u_n} \left\{ \min_{1 \leq i \leq n} \mu_{\tilde{x}_i}(u_i) \mid v = f(u_1, u_2, \dots, u_n) \right\}$$

**قضیه ۲** فرض کنید  $\tilde{x}_i (i = 1, 2, \dots, n)$  اعداد فازی هستند،  $\tilde{\omega}_i (i = 1, 2, \dots, n)$  ضریب واقعی مثبت هستند،  $O_a^U$  و  $O_a^L$  نشان دهنده کران پایین و بالای مجموعه سطح  $\alpha$  یک عدد فازی هستند، سپس برای هر سطح احتمال معین  $0 \leq \alpha \leq 1$  و  $\alpha_3 \leq 1$ ،  
 $Pos\{\omega_1 \tilde{x}_1 + \omega_2 \tilde{x}_2 + \dots + \omega_n \tilde{x}_n \leq b\} \geq a_1$  اگر  $Pos\{\omega_1(\tilde{x})_{a_1}^L + \omega_2(\tilde{x})_{a_1}^L + \dots + \omega_n(\tilde{x})_{a_1}^L \leq b\} \geq a_1$   
 $Pos\{\omega_1 \tilde{x}_1 + \omega_2 \tilde{x}_2 + \dots + \omega_n \tilde{x}_n \geq b\} \geq a_2$  اگر  $Pos\{\omega_1(\tilde{x})_{a_2}^L + \omega_2(\tilde{x})_{a_2}^L + \dots + \omega_n(\tilde{x})_{a_2}^L \geq b\} \geq a_2$

اگر  $Pos\{\omega_1 \tilde{x}_1 + \omega_2 \tilde{x}_2 + \dots + \omega_n \tilde{x}_n = b\} \geq a_3$  و  $Pos\{\omega_1(\tilde{x})_{a_3}^L + \omega_2(\tilde{x})_{a_3}^L + \dots + \omega_n(\tilde{x})_{a_3}^L \leq b\} \geq a_3$  و  $Pos\{\omega_1(\tilde{x})_{a_3}^L + \omega_2(\tilde{x})_{a_3}^L + \dots + \omega_n(\tilde{x})_{a_3}^L \geq b\} \geq a_3$

**اثبات** فقط دلیل مورد اول ارائه خواهد شد. موارد دیگر را می توان با استفاده از استدلال های مشابه اثبات کرد.

$Pos\{\omega_1 \tilde{x}_1 + \omega_2 \tilde{x}_2 + \dots + \omega_n \tilde{x}_n \leq b\} \geq a_1$  فرض کنید

$$(s_1^*, \dots, s_n^*) = \Delta \arg \sup_{s_1, \dots, s_n \in R} \{ \min [\mu_{\tilde{x}_1}(s_1), \dots, \mu_{\tilde{x}_n}(s_n)] \mid \omega_1 s_1^* + \omega_2 s_2^* + \dots + \omega_n s_n^* \leq b \}$$

آنگاه  $\omega_1 s_1^* + \omega_2 s_2^* + \dots + \omega_n s_n^* \leq b$  و  $\min\{\mu_{\tilde{x}_1}(s_1), \dots, \mu_{\tilde{x}_n}(s_n)\} \geq a_1$

به  $\min\{\mu_{\tilde{x}_1}(s_1), \dots, \mu_{\tilde{x}_n}(s_n)\} \geq a_1$ ،  $\mu_{\tilde{x}_1}(s_1^*) \geq a_1, \dots, \mu_{\tilde{x}_n}(s_n^*) \geq a_1$  اشاره دارد، بنابراین  $s_1^* \in [(\tilde{x}_1)_{a_1}^L, (\tilde{x}_1)_{a_1}^U]$ ،  
 $s_2^* \in [(\tilde{x}_2)_{a_1}^L, (\tilde{x}_2)_{a_1}^U]$ ، ... و  $s_n^* \in [(\tilde{x}_n)_{a_1}^L, (\tilde{x}_n)_{a_1}^U]$  علاوه بر این  $\omega_1 s_1^* + \omega_2 s_2^* + \dots + \omega_n s_n^* \leq b$  و نا منفی بودن از  
 $\omega_1(\tilde{x})_{a_1}^L + \omega_2(\tilde{x})_{a_1}^L + \dots + \omega_n(\tilde{x})_{a_1}^L \leq b$  بدین ترتیب  $\omega_i (i = 1, 2, \dots, n)$

متقابلاً، اگر  $\omega_1(\tilde{x})_{a_1}^L + \omega_2(\tilde{x})_{a_1}^L + \dots + \omega_n(\tilde{x})_{a_1}^L \leq b$ ، آنگاه  $a_1' \leq a_1 \leq a_1'$  به صورتی که  $\omega_1(\tilde{x})_{a_1}^L + \omega_2(\tilde{x})_{a_1}^L + \dots + \omega_n(\tilde{x})_{a_1}^L \leq b$  بدیهی است که  $\mu_{\tilde{x}_1}((\tilde{x}_1)_{a_1'}^L) \geq a_1, \dots, \mu_{\tilde{x}_n}((\tilde{x}_n)_{a_1'}^L) \geq a_1$ ، بنابراین  
 $\min\{\mu_{\tilde{x}_1}((\tilde{x}_1)_{a_1'}^L), \dots, \mu_{\tilde{x}_n}((\tilde{x}_n)_{a_1'}^L)\} \geq a_1$  و  $\omega_1(\tilde{x}_1)_{a_1'}^L + \omega_2(\tilde{x}_2)_{a_1'}^L + \dots + \omega_n(\tilde{x}_n)_{a_1'}^L \leq b$  در نتیجه

$$Pos\{\omega_1 \tilde{x}_1 + \omega_2 \tilde{x}_2 + \dots + \omega_n \tilde{x}_n \leq b\} = \sup_{s_1, \dots, s_n \in R} \min \{ \mu_{\tilde{x}_1}(s_1), \dots, \mu_{\tilde{x}_n}(s_n) \mid s_1 + s_2 + \dots + s_n \leq b \} \geq a_1$$

### ۳ روش شناسی

طبقه بندی داده ها برای قضاوت در مورد اینکه آیا داده ها به یک گروه مشخص با توجه به برخی ویژگی های مشاهده شده تعلق دارند یا خیر. به عبارت دیگر، طبقه بندی داده ها برای ساختن یک تابع متمایز با استفاده از مجموعه ای از داده های از پیش انتخاب شده، به نام مجموعه آموزشی نمونه، و سپس آزمایش برچسب کلاس برای یک نمونه جدید است.

طبقه بندی کننده مبتنی بر DEA فازی استفاده از مدل DEA فازی برای ساخت چنین تابع متمایزی است.

### ۳.۱ طبقه بندی کننده مبتنی بر DEA فازی افزایشی

در تجارت، مجموعه ویژگی های داده شده یک داده فازی افزایشی است، یعنی قاعده ((بزرگتر بهتر است)) اعمال می شود را برآورده می کند. این نشان می دهد که مقادیر ویژگی های بزرگتر اولویت شی بیشتری دارند.

مجموعه نمونه آموزش فازی  $S = \{(\tilde{X}_1, y_1), (\tilde{X}_2, y_2), \dots, (\tilde{X}_l, y_l)\}$  را در نظر بگیرید، جایی که  $\tilde{X}_j \in T^n(R)$

کلاس منفی نامیده می شود. بدون از دست دادن کلیت، مجموعه نمونه آموزشی فازي مثبت با  $y_i = 1$ ، آنگاه  $(\tilde{X}_i, y_i)$  یک کلاس مثبت نامیده می شود. اگر  $y_i = -1$ ، آنگاه  $(\tilde{X}_i, y_i)$  یک

$$S^+ = \{(\tilde{X}_1, y_1), (\tilde{X}_2, y_2), \dots, (\tilde{X}_l, y_l)\}$$

$$S^- = \{(\tilde{X}_{l_1+1}, y_{l_1+1}), (\tilde{X}_{l_1+2}, y_{l_1+2}), \dots, (\tilde{X}_l, y_l)\}$$

طبقه بندی بر اساس مجموعه آموزشی فازي  $S = \{(\tilde{X}_1, y_1), (\tilde{X}_2, y_2), \dots, (\tilde{X}_l, y_l)\}$  برای یافتن یک تابع تصمیم گیری  $g(\tilde{X})$  است، به طوری که کلاس مثبت و کلاس منفی را می توان با خطای طبقه بندی کم و عملکرد تعمیم خوب از هم جدا کرد.

برای سادگی، فرض می کنیم که داده های آموزش فازي  $\tilde{X}_k = (\tilde{x}_{1k}, \tilde{x}_{2k}, \dots, \tilde{x}_{nk}) (k = 1, 2, \dots, n)$  بردارهای اعداد فازي مثلثی هستند،  $k = 1, 2, \dots, l; i = 1, 2, \dots, n, \tilde{x}_{ik} = (l_{ik}, m_{ik}, r_{ik})$ .

**تعریف ۱.۳** برای مجموعه آموزش فازي  $S = S^+ \cup S^-$  و داده شده و یک سطح احتمال  $a (0 \leq a \leq 1)$ ، در صورت وجود بردار مثبت  $\omega \geq 0$  و عدد  $\mu$  مثبت به طوری که  $a \leq \text{Pos}\{\omega \cdot \tilde{x}_i - \mu > 0\}$  به ازای  $\tilde{x}_i \in S^+$  سپس مجموعه آموزشی فازي را با توجه به سطح امکان  $\alpha$  افزایشی می گویند. ابر صفحه فازي  $\omega \cdot \tilde{x}_i - \mu \cong \tilde{0}$  یک ابر صفحه طبقه بندی فازي در سطح  $\alpha$  نامیده می شود.

برای مجموعه آموزش فازي تفکیک پذیر افزایشی  $S = S^+ \cup S^-$  دامنه پذیرش را می توان به صورت زیر نشان داد:

$$\Theta = \left\{ \tilde{x} \mid \sum_{i=1}^{l_1} \lambda_i \tilde{x}_i \leq \tilde{x}, \tilde{x}_i \in S^+, \sum_{i=1}^{l_1} \lambda_i \geq 1, \lambda_i \geq 0 \right\}$$

مدل فازي CCR با ورودی-خروجی  $(\tilde{X}_i, 1)$  برای  $DMU_j$ ،  $j = 1, 2, \dots, l_1$ ، برای ارزیابی توسط زیر داده شده است:

$$\begin{cases} \max \mu_0 \\ \omega \tilde{x}_i - \mu_0 \geq 0, i = 1, 2, \dots, l_1; \\ \omega \tilde{x}_0 \leq 1; \\ \omega \geq 0, \mu_0 \geq 0. \end{cases} \quad (5)$$

برای حل مدل فازي فوق (۵)، از رویکرد امکان [۳۰، ۳۱] استفاده می کنیم. برای سطح امکان داده شده  $\alpha$ ،  $\beta (0 \leq \alpha, \beta \leq 1)$ ، مدل امکان (۵) به شرح زیر است:

$$\begin{cases} \max \mu_0 \\ \text{pos}\{\omega \tilde{x}_i - \mu_0 \geq 0\} \geq \alpha, i = 1, 2, \dots, l_1; \\ \text{pos}\{\omega \tilde{x}_0 = 1\} \geq \beta; \\ \omega \geq 0, \mu_0 \geq 0. \end{cases} \quad (6)$$

برای سادگی،  $\tilde{x}_{j_0} = \tilde{x}_0$  فرض کنید  $\alpha = \beta$ . از لم ۱، مسئله بهینه سازی معادل مدل زیر است:



$$\begin{cases} \max \mu_0 \\ \omega(\tilde{x}_i)_\alpha^U - \mu_0 \geq 0, i = 1, 2, \dots, l_1; \\ \omega(\tilde{x}_0)_\alpha^L \leq 1, \omega(\tilde{x}_0)_\alpha^U \geq 1; \\ \omega \geq 0, \mu_0 \geq 0. \end{cases} \quad (7)$$

**تعریف ۳.۲** برای  $DMU_{j_0}: (\tilde{x}_{j_0}, 1) \in S^+$  اگر مقادیر بهینه (۶) کمتر از ۱ نباشد،  $(\tilde{x}_{j_0}, 1)$  نقطه طبقه بندی کارآمد  $S^+$  نامیده می شود.

برای سطح امکان داده شده  $\alpha$  ( $0 \leq \alpha, \beta \leq 1$ ) و یک نقطه طبقه بندی کارآمد از  $S^+$ ، با مدل (۷) یا (۶) برای  $\alpha = \beta$ ، می توانیم بردار نرمال کارآمد را به دست آوریم. سطح مرزی دامنه پذیرش فازی  $\theta$ .

اگر مجموعه نمونه آموزشی  $S = \{(\tilde{X}_1, y_1), (\tilde{X}_2, y_2), \dots, (\tilde{X}_l, y_l)\}$  یک مجموعه نمونه آموزشی کلاسیک باشد، به عبارتی  $\tilde{X}_j \in R^n, j = 1, 2, \dots, l$ ، طبقه بندی کننده مبتنی بر DEA فازی به ماشین طبقه بندی پوششی داده ها تبدیل می شود [۲۸].

**قضیه ۳** اگر  $(\tilde{x}_{j_0}, 1)$  یک نقطه طبقه بندی کارآمد  $S^+$  است،  $\omega = \omega_0$ ،  $\mu_0$  راه حل بهینه (۶) است، سپس برای هر  $\tilde{x} \in \theta$ ؛  $Pos\{\omega_0 \tilde{x} - \mu_0 \geq 0\} \geq \alpha$

**اثبات** چون  $\omega_0 > 0$ ،  $\mu_0$  جواب بهینه (۶) هستند، بنابراین  $Pos\{\omega_0 \tilde{x}_i - \mu_0 \geq 0\} \geq \alpha$ ،  $i = 1, 2, \dots, l$  و  $pos\{\omega_0 \tilde{x}_i - \mu_0 \geq 0\} \geq a$ ؛ توسط لم ۲، برای هر  $\tilde{x} \in \theta$ ،

$$\omega_0 \tilde{x}_i - \mu_0 \gtrsim \omega_0 \sum_{i=1}^{l_1} \lambda_i \tilde{x}_i - \mu_0 = \sum_{i=1}^{l_1} \lambda_i (\omega_0 \tilde{x}_i - \mu_0) + \mu_0 (\sum_{i=1}^{l_1} \lambda_i - 1) \gtrsim \sum_{i=1}^{l_1} \lambda_i (\omega_0 \tilde{x}_i - \mu_0)$$

و توسط نظریه ۲،  $Pos\{\omega_0 \tilde{x}_i - \mu_0 > 0\} \geq a$  اگر و فقط اگر  $\omega_0 (\tilde{x}_i)_a^U - \mu_0 > 0$  برای  $i = 1, 2, \dots, l_1$ ، بنابراین  $\sum_{i=1}^{l_1} \lambda_i [\omega_0 (\tilde{x}_i)_a^U - \mu_0] \geq 0$ ، که آن برابر است با،  $\omega_0 \sum_{i=1}^{l_1} \lambda_i (\tilde{x}_i)_a^U - \mu_0 \sum_{i=1}^{l_1} \lambda_i \geq 0$ ،  $\tilde{x} \in \theta$ ،  $(\omega_0 \tilde{x}_i - \mu_0)_a^U = \omega_0 (\tilde{x}_i)_a^U - \mu_0 \geq \omega_0 \sum_{i=1}^{l_1} \lambda_i (\tilde{x}_i)_a^U - \mu_0 \geq \omega_0 \sum_{i=1}^{l_1} \lambda_i (\tilde{x}_i)_a^U - \mu_0 \sum_{i=1}^{l_1} \lambda_i = Pos\{\omega_0 (\tilde{x}_i)_a^U - \mu_0 \geq 0\} \geq a$ ، همچنین توسط نظریه ۲،

برای در نظر گرفتن اختلال داده های آموزشی یا این واقعیت که برخی از نقاط داده ممکن است اشتباه طبقه بندی شوند، بردار متغیرهای ضعیف  $\xi = (\xi_1, \dots, \xi_{l_1})^T$  را معرفی می کنیم. که میزان نقض محدودیت ها را اندازه گیری می کند، مدل CCR فازی مربوطه (۵) به شرح زیر است:

$$\begin{cases} \max \mu_0 - C \sum_{i=1}^{l_1} \xi_i \\ \omega \tilde{x}_i - \mu_0 \gtrsim 0 + \xi_i, i = 1, 2, \dots, l_1; \\ \omega \tilde{x}_0 \cong 1; \\ \xi_i \geq 0; \\ \omega \geq 0, \mu_0 \geq 0. \end{cases} \quad (8)$$

که در آن  $C > 0$  از قبل مشخص شده است. برای سطح امکان داده شده  $\alpha$  ( $0 \leq \alpha, \beta \leq 1$ )، مدل امکان (۸) به شرح زیر است:

$$\begin{cases} \max \mu_0 - C \sum_{i=1}^{l_1} \xi_i \\ pos \left\{ \omega \tilde{x}_i - \mu_0 \geq 0 + \xi_i \right\} \geq \alpha, i = 1, 2, \dots, l_1; \\ pos \left\{ \omega \tilde{x}_0 = 1 \right\} \geq \beta; \\ \xi_i \geq 0 \\ \omega \geq 0, \mu_0 \geq 0. \end{cases} \quad (9)$$

همچنین از لم ۱، برای  $\beta = \alpha$ ، مسئله بهینه سازی (۹) معادل مدل بهینه سازی کلاسیک زیر است:

$$\begin{cases} \max \mu_0 - C \sum_{i=1}^{l_1} \xi_i \\ \omega(\tilde{x}_i)_\alpha^U - \mu_0 \geq 0 + \xi_i, i = 1, 2, \dots, l_1; \\ \omega(\tilde{x}_0)_\alpha^L \leq 1, \omega(\tilde{x}_0)_\alpha^U \geq 1; \\ \xi_i \geq 0; \\ \omega \geq 0, \mu_0 \geq 0. \end{cases} \quad (10)$$

اگر  $\omega_0 > 0$ ،  $\mu_0 = 1$  جواب بهینه (۷) یا (۱۰) باشد و  $\tilde{x}_0$ ،  $pos\{\omega_0 \tilde{x}_0 = 1\} \geq a$  را برآورده کند.

مشخص کن  $L: \omega_0 \tilde{x} - 1 \cong 0$

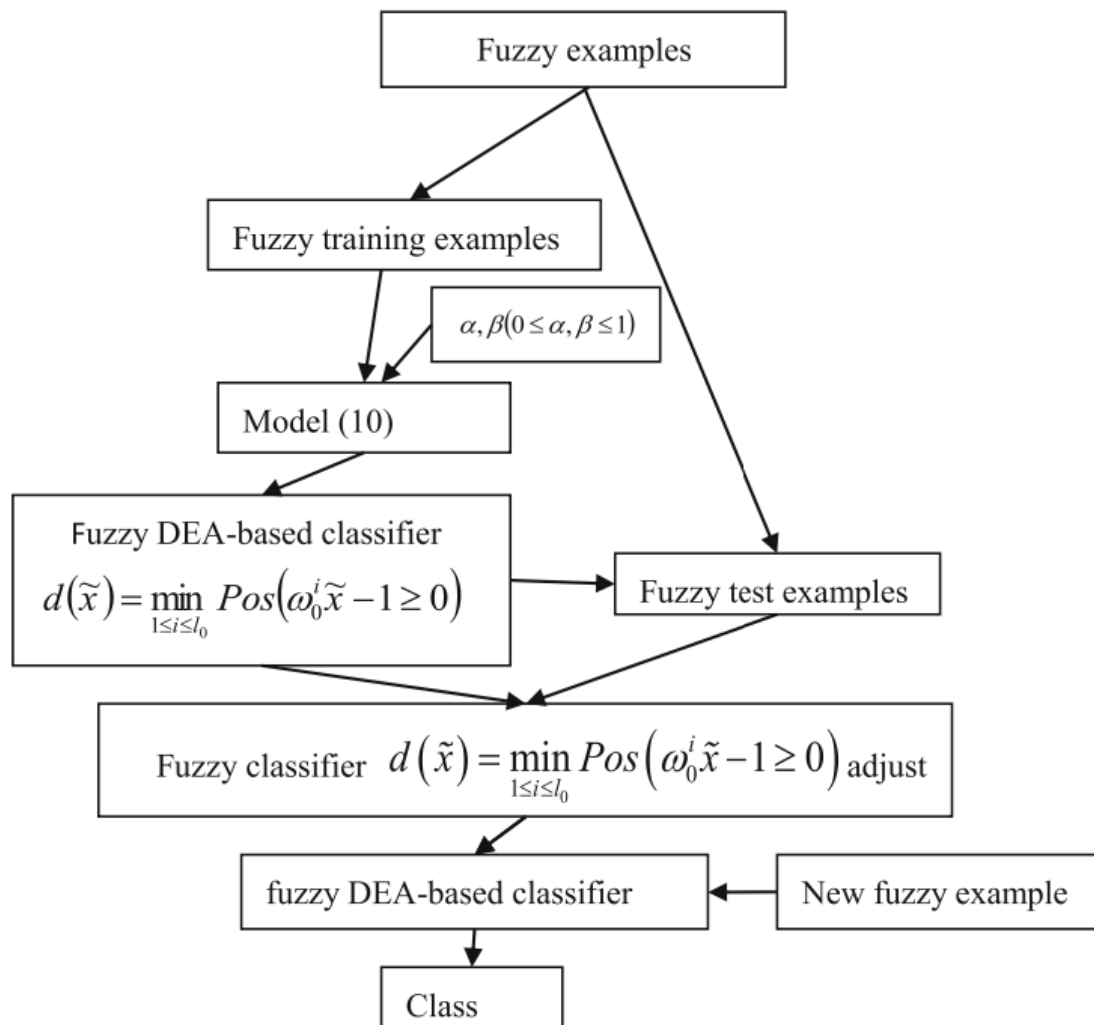
اگر صفحه  $L$  یک صفحه حمایت کننده از حوزه پذیرش است،  $\omega_0$  بردار نرمال ابر صفحه  $L$  و  $\tilde{x}_0$  در این صفحه است.

فرض کنید تمام صفحه پشتیبان مجموعه آموزشی فازی  $S = S^+ \cup S^-$  با  $\omega_0^j \tilde{x} - 1 \cong 0$  یا  $j = 1, 2, \dots, l_0$  ( $l_0 < l_1$ ) نشان داده شود، سپس تابع فازی طبقه بندی را می توان با  $d(\tilde{x}) = \min_{1 \leq i \leq l_0} Pos(\omega_0^i \tilde{x} - 1 \geq 0)$  ارائه داد.

قضایوت در مورد اینکه آیا یک داده مفروض  $\tilde{x}$  به حوزه پذیرش فازی  $\theta$  تعلق دارد، معادل تشخیص اینکه آیا  $\tilde{x}$  بالاتر از همه ابر صفحه فازی است (برای یک سطح اطمینان معین) است.

برای مثال فازی که کلاس ناشناخته  $\tilde{X} = (\tilde{x}_1, \tilde{x}_2, \dots, \tilde{x}_n)$ ، قانون تصمیم گیری این است: برای یک سطح اطمینان معین  $(0 < \alpha \leq 1)$ ، اگر  $d(\tilde{x}) \geq a$  پس  $\tilde{X} = (\tilde{x}_1, \tilde{x}_2, \dots, \tilde{x}_n)$  یک مثال مثبت است، در غیر این صورت  $\tilde{X} = (\tilde{x}_1, \tilde{x}_2, \dots, \tilde{x}_n)$  یک مثال منفی است.

نمودار طبقه بندی کننده مبتنی بر DEA فازی افزایشی در شکل ۱ نشان داده شده است.



### ۳.۲ کاربردها در مدیریت مراقبت های بهداشتی

طبقه بندی کننده مبتنی بر DEA فازی پیشنهادی ما را می توان در مدیریت مراقبت های بهداشتی، مانند تشخیص بیماری ها، پیش بینی بیماری ها و نظارت بر سلامت افراد یا هشدار سلامت به کار برد.

در ادامه، طبقه بندی کننده فازی مبتنی بر DEA در تشخیص بیماری کرونر با علائم فازی و در پیش بینی سرطان پستان با داده های اختلال فازی استفاده می شود. برنامه ها همچنین دقت و کارایی طبقه بندی کننده مبتنی بر DEA فازی پیشنهادی را اثبات می کنند.

**مثال ۱** تشخیص کرونری [۴۸]. ۳۰ نمونه به طور تصادفی به دو گروه ۲۴ نمونه تمرین و ۶ نمونه آزمایش تقسیم می شوند که داده های تمرینی جدول ۱ فشار دیاستولیک ( $x_{i1} \sim \mathcal{X}$ ) و کلسترول پلاسما ( $\tilde{x}_{i2}$ ) بیست و چهار نفر است که نیمی از آنها سالم هستند ( $y_i = 1$ )، بقیه بیماران کرونر ( $y_i = -1$ )،  $\tilde{x}_{i1}$  و  $\tilde{x}_{i2}$  اعداد فازی مثلثی هستند.

نمونه ها را به طور تصادفی به داده های آموزشی (۲۴ نمونه) و داده های آزمون (۶) تقسیم می کنیم. بر اساس داده های آموزش فازی، برای پارامتر  $a = 0.95$ ،  $C = 0.1$ ، حل برنامه نویسی (۱۱)، ما می توانیم چهار نقطه طبقه بندی کارآمد و صفحات پشتیبانی پاسخ دهنده آنها را به دست آوریم.

**Table 1** The data of diastolic pressure and plasma cholesterol of the patient of Coronary and healthy people

i	$\tilde{x}_{i1}$ (KPa)	$\tilde{x}_{i2}$ (mmol/L)	$y_i$	i	$\tilde{x}_{i1}$	$\tilde{x}_{i2}$	$y_i$
1	(9.84,9.86,9.88)	(5.17,5.18,5.19)	1	16	(10.62,10.66,10.70)	(2.06,2.07,2.08)	-1
2	(13.31,13.33,13.35)	(3.72,3.73,3.74)	1	17	(12.51,12.53,12.55)	(4.44,4.45,4.46)	-1
3	(14.63,14.66,14.69)	(3.87,3.89,3.91)	1	18	(13.30,13.33,13.36)	(3.04,3.06,3.08)	-1
4	(9.32,9.33,9.34)	(7.08,7.10,7.12)	1	19	(9.32,9.33,9.34)	(3.90,3.94,3.98)	-1
5	(12.87,12.80,12.83)	(5.47,5.49,5.51)	1	20	(10.64,10.66,10.68)	(4.43,4.45,4.47)	-1
6	(10.64,10.66,10.68)	(4.06,4.09,4.12)	1	21	(10.64,10.66,10.68)	(4.89,4.92,4.95)	-1
7	(10.65,10.66,10.67)	(4.43,4.45,4.47)	1	22	(9.31,9.33,9.35)	(3.66,3.68,3.70)	-1
8	(13.31,13.33,13.35)	(3.60,3.63,3.66)	1	23	(10.64,10.66,10.68)	(3.20,3.21,3.22)	-1
9	(13.32,13.33,13.34)	(5.68,5.70,5.72)	1	24	(10.37,10.40,10.43)	(3.92,3.94,3.96)	-1
10	(11.97,12.00,12.03)	(6.17,6.19,6.21)	1	25	(9.31,9.33,9.35)	(4.90,4.92,4.94)	-1
11	(14.64,14.66,14.68)	(4.00,4.01,4.02)	1	26	(11.19,11.20,11.21)	(3.40,3.42,3.44)	-1
12	(13.31,13.33,13.35)	(3.99,4.01,4.03)	1	27	(9.31,9.33,9.35)	(3.62,3.63,3.64)	-1
13	(12.72,12.80,12.88)	(5.93,5.96,5.99)	1	28	(10.64,10.66,10.68)	(4.43,4.45,4.47)	-1
14	(13.3,13.33,13.36)	(5.88,5.96,6.04)	1	29	(10.64,10.66,10.68)	(2.65,2.69,2.73)	-1
15	(10.63,10.66,10.69)	(5.502,5.504)	-1	30	(10.61,10.66,10.71)	(2.71,2.77,2.83)	-1

$$L_1 : f_1(\tilde{x}) = 0.0886786\tilde{x}_1 + 0.02450144\tilde{x}_2 - 1 \geq 0;$$

$$L_2 : f_2(\tilde{x}) = 0.08856158\tilde{x}_1 + 0.02496741\tilde{x}_2 - 1 \geq 0;$$

$$L_3 : f_3(\tilde{x}) = 0.02909458\tilde{x}_1 + 0.1688751\tilde{x}_2 - 1 \geq 0;$$

$$L_4 : f_4(\tilde{x}) = 0.275824\tilde{x}_2 - 1 \geq 0.$$

سپس تابع تفکیک به صورت زیر داده می شود:

$$d(\tilde{x}) = \min_{1 \leq i \leq 4} Pos(f_i(\tilde{x}) - 1 \geq 0)$$

قانون تصمیم گیری این است: برای یک سطح اطمینان معین  $a = 0.95$ ، اگر  $d(\tilde{x}) = \min_{1 \leq i \leq 4} Pos(f_i(\tilde{x}) - 1 \geq 0) \geq 0.95$ ، آنگاه

$\tilde{X} = (\tilde{x}_1, \tilde{x}_2)$  یک مثال مثبت است. در غیر این صورت  $\tilde{X} = (\tilde{x}_1, \tilde{x}_2)$  یک مثال منفی است.

برای همان مجموعه داده های فازی و سطح اطمینان، ما با ماشین بردار پشتیبان فازی خطی (LFSVM) [۴۷] مقایسه می کنیم، نتیجه آزمایش در جدول ۲ آورده شده است.

**Table 2** Comparison with LFSVM

Classifiers	parameter	Training accuracies	Test accuracies	training times(seconds)
FDEACM	$C = 0.1, \alpha = 0.95$	95.8%	100%	240
LFSVM	$C = 0.1, \alpha = 0.95$	91.7%	83.3%	27

در مقایسه با LFSVM، ماشین طبقه بندی فازی DEA پیشنهادی ما دقت آموزشی و آموزش تست بهتری دارد، اما زمان محاسبات طولانی تر است. از آنجایی که مجموعه داده های فازی به صورت خطی قابل تفکیک نیستند، دقت آموزشی و دقت آزمون LFSVM بدترین هستند.

**مثال ۲** در این مثال، مجموعه داده را از مخزن دانشگاه کالیفرنیا ارواین (UCI) انتخاب می کنیم: مجموعه داده سرطان پستان پیش آگهی ویسکانسین Mangasarian و Bennett)

(<http://archive.ics.uci.edu/ml/datasets/Breast+Cancer+Wisconsin+%28Original%29>) . مجموعه داده های سرطان

پستان پیش آگهی ویسکانسین دارای ۶۹۹ رکورد و ۹ متغیر است (ضخامت توده، یکنواختی اندازه سلول، یکنواختی شکل سلول، چسبندگی حاشیه ای، اندازه سلول اپیتلیال منفرد، هسته های لخت، کروماتین ملایم، هسته طبیعی، میتوز). مجموعه داده شامل ۱۶ نمونه است که دارای ویژگی هایی با مقادیر گم شده و ۶۸۳ نمونه دارای داده های کامل هستند، این رکوردها به دو کلاس خوش خیم یا بدخیم تعلق دارند. به منظور تأیید استحکام طبقه بندی کننده مبتنی بر DEA فازی پیشنهادی ما، به طور تصادفی یک اختلال فازی را به هر مقدار مشخصه اضافه می کنیم، سپس می توانیم مجموعه نمونه های فازی را بدست آوریم.

طبقه بدخیم به عنوان کلاس مثبت در نظر گرفته می شود که از بین ۲۳۹ نمونه مثبت ۱۸۰ نمونه را به صورت تصادفی به عنوان نمونه آموزشی و بقیه نمونه های مثبت و تمامی نمونه های منفی را به عنوان نمونه آزمایش انتخاب می کنیم. هنگامی که پارامتر  $\alpha = 0.85$ ،  $C = 0.1$ ، حل برنامه نویسی (۱۱). ما می توانیم ۳۷ نقطه طبقه بندی کارآمد و صفحه های پشتیبانی پاسخگوی آنها را به دست آوریم، سپس تابع تفکیک را داریم:

$$d(\tilde{x}) = \min_{1 \leq i \leq 37} Pos(\omega_0 \tilde{x} - 1 \geq 0)$$

مدل پیشنهادی، که بر روی مجموعه داده های اختلال فازی فوق آموزش داده شده است، با بردار پشتیبان آموزش دیده بر روی مجموعه داده سرطان پستان پیش آگهی اصلی ویسکانسین مقایسه می شود.

([http://archive.ics.uci.edu/ml/datasets/Breast+Cancer+Wisconsin+\(Original\)](http://archive.ics.uci.edu/ml/datasets/Breast+Cancer+Wisconsin+(Original)))، نتیجه در جدول ۳ آورده شده است.

نتایج آزمایش ها نشان می دهد که اگرچه مدل پیشنهادی دقت آموزشی کمتر و زمان های آموزشی طولانی تری دارد، اما دقت تست بهتری نسبت به SVM دارد. با این حال، نتایج مدل پیشنهادی تحت اختلال فازی به مجموعه داده ها به دست می آید. این آزمایش های عددی نشان می دهد که ماشین طبقه بندی فازی DEA پیشنهادی قوی است.

**Table 3** Comparison result of Robust FDEACM with SVM

Classifiers	parameter	Training accuracies	Test accuracies	training times (minute)
FDEACM	$C = 0.1, \alpha = 0.85$	97.8%	96.8%	12
SVM	$C = 0.1,$	98.7%	96.3%	2.3

## ۴ نتیجه گیری و تحقیقات آتی

در این مقاله، در راستای ایده هونگ یان و همکاران. [۲۹]، ما یک ماشین طبقه بندی DEA را برای داده های آموزش فازی مورد بحث و تعریف قرار دادیم. ما داده های فازی تحت ارزیابی را به عنوان یک واحد تصمیم گیری با مقادیر مشخصه فازی داده شده به عنوان ورودی و یک خروجی واحد با مقدار ۱ در نظر می گیریم. سپس از مجموعه ای از واحدهای تصمیم گیری (DMUs) برای تشکیل یک مجموعه داده نمونه فازی استفاده کردیم. دامنه پذیرش فازی را بر اساس مجموعه نمونه فازی برای طبقه بندی بسازید. طبقه بندی کننده مبتنی بر DEA فازی از توابع تفکیک فازی تکه ای خطی برای تقریب توابع تفکیک فازی غیرخطی استفاده می کند. آزمایشات نشان می دهد که مدل پیشنهادی عملکرد خوبی دارد. کار نظری و نتایج محاسباتی نشان می دهد که روش توسعه یافته پتانسیل بالایی در عمل دارد. اما مدل پیشنهادی دارای اشکالاتی است، (۱) مدل پیشنهادی فقط برای طبقه بندی داده های فازی افزایشی قابل استفاده است. (۲) زمان آموزش مدل پیشنهادی طولانی تر است، که برای داده های بزرگ مناسب نیست. در آینده مدل طبقه بندی خود را در جهت های زیر تعمیم خواهیم داد. (۱) بردارهای نرمال ابرصفحه ها مثبت هستند و فقط از اطلاعات یک کلاس استفاده می کند [۲۹]، اطلاعات کلاس دیگر از بین می رود. همه اینها ممکن است منجر به عملکرد بد طبقه بندی شود. ممکن است یک طبقه بندی کننده جدید بر اساس DEA فازی تعمیم یافته بسازیم، که در آن شرایط غیرمنفی را می توان از دست داد و کابین اطلاعات طبقه بندی را به طور کامل مورد استفاده قرار داد. (۲) مدل پیشنهادی همه ویژگی ها را با اهمیت یکسان در نظر می گیرد، اما در برخی موارد، برخی از ویژگی ها از بقیه مهم تر هستند. و ما می توانیم ماشین طبقه بندی فازی DEA را با محدودیت های منطقه اطمینان مورد بحث قرار دهیم. (۳) داده های آموزشی مدل پیشنهادی داده های فازی هستند، ما می توانیم ماشین طبقه بندی پوششی داده های تصادفی را بر اساس تحلیل پوششی داده های تصادفی بسازیم [۴۹، ۵۰]. علاوه بر این، ماشین طبقه بندی پوششی داده ها را با نمونه آموزش فازی تصادفی بسازید.

## سپاسگزاریه ها

این کار با کمک مالی از صندوق ملی علوم اجتماعی (۱۴BJY۰۱۰)، صندوق علوم اجتماعی استان هبی (HB۱۸GL۰۱۴) حمایت شد.

## منابع

۱. Kim S-P, Gupta D, Ajay K et al (۲۰۱۵) Accept/decline decision module for the liver simulated allocation model. Health Care Manag Sci ۱۸:۳۵-۵۷
۲. Chen H, Cheng B-C, Liao G-T, Kuo T-C (۲۰۱۴) Hybrid classification engine for cardiac arrhythmia cloud service in elderly healthcare management. J Vis Lang Comput ۲۵:۷۴۵-۷۵۳
۳. Mahamune M, Ingle S, Deo P, Chowhan S (۲۰۱۵) Healthcare knowledge management using data mining techniques. Advances in Computational Research ۱:۲۷۴-۲۷۸
۴. Luukka P (۲۰۱۱) A New Nonlinear Fuzzy Robust PCA Algorithm and Similarity Classifier in Classification of Medical Data Sets. International Journal of Fuzzy Systems ۳:۱۵۳-۱۶۳
۵. Ishibushi H, Yamamoto T, Nakashima T (۲۰۰۱) Fuzzy data mining: effect of fuzzy discretization. In: Proc. of the IEEE International Conference on Data Mining, ICDM, San Jose, pp. ۲۴۱-۲۴۸
۶. Guillaume S (۲۰۰۱) Designing fuzzy inference system from data: an interpretability-oriented review. IEEE Trans Fuzzy Syst ۹(۳): ۴۲۶-۴۴۳
۷. Wu K, Yap K-H (۲۰۰۶) Fuzzy SVM for content-based image retrieval. IEEE Comput Intell Mag ۱(۲):۱۰-۱۶
۸. Yuan Y, Shaw M (۱۹۹۵) Induction of fuzzy decision trees. FuzzySets Syst ۶۹:۱۲۵-۱۳۹
۹. Boyen X, Wehenkel L (۱۹۹۹) Automatic induction of fuzzy decision tree and its application to power system security assessment. Fuzzy Sets Syst ۱۰۲(۱):۳-۱۹
۱۰. Huang Y-P, Lai S-L, Sandnes FE, Liu S-I (۲۰۱۲) Improving Classifications of Medical Data Based on Fuzzy ART<sub>2</sub> DecisionTrees. International Journal of Fuzzy Systems ۳:۴۴۴-۴۵۴
۱۱. Wang L-X, Mendel J (۱۹۹۲) Generating fuzzy rules by learning from examples. IEEE Trans Syst Man Cybern ۲۲(۶):۱۴۱۴-۱۴۲۷
۱۲. Hong T-P, Chen J-B (۲۰۰۰) Processing individual fuzzy attributes for fuzzy rule induction. Fuzzy Sets Syst ۱۱۲(۱):۱۲۷-۱۴۰
۱۳. Hühn J, Hüllermeier E (۲۰۰۹) FR<sub>3</sub>: a fuzzy rule learner for inducing reliable classifiers. IEEE Trans Fuzzy Syst ۱۷(۱):۱۳۸-۱۴۹
۱۴. Wu X-H, Zhou J-J (۲۰۰۶) Fuzzy discriminant analysis with kernel methods. Pattern Recogn ۳۹(۱۱):۲۲۳۶-۲۲۳۹

۱۵. Graves D, Pedrycz W (۲۰۱۰) Kernel-based fuzzy clustering and fuzzy clustering: A comparative experimental study. *Fuzzy Sets Syst* ۱۶۱(۴):۵۲۲–۵۴۳
۱۶. Ji A-b, Pang J-h, Qiu H-j (۲۰۱۰) Support vector machine for classification based on fuzzy training data. *Expert Syst Appl* ۳۷(۴): ۳۴۹۵–۳۴۹۸
۱۷. Heo G, Gader P (۲۰۱۱) Robust kernel discriminant analysis using fuzzy memberships. *Pattern Recogn* ۴۴(۳):۷۱۶–۷۲۳
۱۸. Baklouti R, Mansouri M, Nounou M, Nounou H, Hamida AB (۲۰۱۵) Iterated Robust kernel Fuzzy Principal Component Analysis and application to fault detection. *J Comput Sci* ۲
۱۹. Lorence DP, Spink A (۲۰۰۳) Assessment of preferences for classification detail in medical information: is uniformity better? *Inf Process Manag* ۳۹:۴۶۵–۴۷۷
۲۰. Kulldorff M, Fang Z, Walsh SJ A Tree-Based Scan Statistic for Database Disease Surveillance. *Biometrics* ۵۹(۲۰۱۳):۳۲۳–۳۳۱
۲۱. J. Han, M. Kamber, *Data Mining: Concepts and Techniques* Morgan Kaufman Publishers, Inc. San Francisco, ۲۰۰۱
۲۲. Charnes A, Cooper WW, Rhodes E (۱۹۷۸) Measuring the efficiency of decision making units. *Eur J Oper Res* ۲:۴۲۹–۴۴۴
۲۳. Banker RD, Charnes A, Cooper WW (۱۹۸۴) Some models for estimating technical and scale inefficiencies in data envelopment analysis. *Manag Sci* ۳۰(۹):۱۰۷۸–۱۰۹۲
۲۴. Narci HO, Ozcan YA et al (۲۰۱۵) An Examination of Competition and Efficiency for Hospital industry in Turkey. *Health Care Management Science* (۴):۴۰۷–۴۱۸
۲۵. Nayar P, Ozcan YA, Yu F, Nguyen AT (۲۰۱۳) Data Envelopment Analysis: A Benchmarking Tool for Performance in Urban Acute Care Hospitals. *Health Care Manag Rev* ۲:۱۳۷–۱۴۵
۲۶. Ozcan YA (۲۰۱۴) *Health Care Benchmarking and Performance Evaluation: An Assessment using Data Envelopment Analysis (DEA) ۲nd Edition*. Springer, Newton
۲۷. Troutt MD, Rai A, Zhang A (۱۹۹۶) The potential use of DEA for credit applicant acceptance systems. *Comput Oper Res* ۲۳(۴):۴۰۵–۴۰۸
۲۸. Hasan Bal HHO (۲۰۰۷) Data envelopment analysis approach to two-group classification problem and experimental comparison with some classification models. *Hacettepe Journal of Mathematics and Statistics* ۳۶(۲):۱۶۹–۱۸۰
۲۹. Yan H, Wei Q (۲۰۱۱) Data envelopment analysis classification machine. *Inf Sci* ۱۸۱:۵۰۲۹–۵۰۴۱

۳۰. Wei Q, Chang T-S, Han S (۲۰۱۴) Quantile-DEA classifiers with interval data. *Ann Oper Res* ۲۱۷:۵۳۵-۵۶۳
۳۱. Hatami-Marbini A, Emrouznejad A, Tavana M (۲۰۱۱) A taxonomy and review of the fuzzy Data Envelopment Analysis literature: Two decades in the making. *Eur J Oper Res* ۲۱۴:۴۵۷-۴۷۲
۳۲. Sengupta JK (۱۹۹۲) A fuzzy systems approach in data envelopment analysis. *Computers and Mathematics with Applications* ۲۴(۸-۹): ۲۵۹-۲۶۶
۳۳. Hatami-Marbini A, Saati S, Tavana M (۲۰۱۰) An ideal-seeking fuzzy data envelopment analysis framework. *Appl Soft Comput* ۱۰(۴):۱۰۶۲-۱۰۷۰
۳۴. Kao C, Liu ST (۲۰۰۳) A mathematical programming approach to fuzzy efficiency ranking. *Int J Prod Econ* ۸۶(۲):۱۴۵-۱۵۴
۳۵. Puri J, Yadav SP (۲۰۱۳) A concept of fuzzy input mix-efficiency in fuzzy DEA and its application in banking. *Expert Syst Appl* ۴۰(۵): ۱۴۳۷-۱۴۵۰
۳۶. Guo P, Tanaka H (۲۰۰۱) Fuzzy DEA: a perceptual evaluation method. *Fuzzy Sets Syst* ۱۱۹(۱):۱۴۹-۱۶۰
۳۷. León T, Liern V, Ruiz JL, Sirvent I (۲۰۰۳) A fuzzy mathematical programming approach to the assessment of efficiency with DEA models. *Fuzzy Sets Syst* ۱۳۹(۲):۴۰۷-۴۱۹
۳۸. Guo P, Tanaka H, Inuiguchi M (۲۰۰۰) Self-organizing fuzzy aggregation models to rank the objects with multiple attributes. *IEEE Transactions on Systems, Man and Cybernetics, Part A – Systems and Humans* ۳۰(۵):۵۷۳-۵۸۰
۳۹. Lertworasirikul S, Shu-Cherng F, Joines JA, Nuttle HLW (۲۰۰۳) Fuzzy data envelopment analysis (DEA): a possibility approach. *Fuzzy Sets Syst* ۱۳۹(۲):۳۷۹-۳۹۴
۴۰. Muren ZM, Cui W (۲۰۱۴) Generalized fuzzy data envelopment analysis methods. *Appl Soft Comput* ۱۹:۲۱۵-۲۲۵
۴۱. Ghasemi M-R, Ignatius J, Lozano S, Emrouznejad A, Hatami-Marbini A (۲۰۱۵) A fuzzy expected value approach under generalized data envelopment analysis. *Knowl-Based Syst* ۸۹:۱۴۸-۱۵۹
۴۲. Tavana M, Shiraz RK, Hatami-Marbini A, Agrell PJ, Paryab K (۲۰۱۳) Chance-constrained DEA models with random fuzzy inputs and outputs. *Knowl-Based Syst* ۵۲:۳۲-۵۲
۴۳. Angulo Meza L, Pereira Estellita M (۲۰۰۲) Lins, "Review of methods for increasing discrimination in Data Envelopment Analysis". *Ann Oper Res* ۱۱۶(۱-۴):۲۲۵-۲۴۲
۴۴. Dotoli M, Epicoco N, Falagario M, Sciancalepore F (۲۰۱۵) A crossefficiency fuzzy Data Envelopment Analysis technique for performance evaluation of Decision Making Units under uncertainty. *Comput Ind Eng* ۷۹:۱۰۳-۱۱۴



۴۵. Toloo M, Kresta A (۲۰۱۴) Finding the best asset financing alternative: A DEA–WEO approach. Measurement ۵۵:۲۸۸–۲۹۴
۴۶. Toloo M (۲۰۱۳) The most efficient unit without explicit inputs: an extended MILP–DEA model. Measurement ۴۶:۳۶۲۸–۳۶۳۴
۴۷. Ramik J, Rimanek J (۱۹۸۵) Inequality relation between fuzzy numbers and its use in fuzzy optimization. Fuzzy Sets Syst ۱۶:۱۲۳–۱۳۸
۴۸. Ji A–b, Pang J–h, Qiu H–j (۲۰۱۰) Support vector machine for classification based on fuzzy training data. Expert Syst Appl ۳۷:۳۴۹۵–۳۴۹۸
۴۹. Olesen OB, Petersen NC (۲۰۱۶) Stochastic Data Envelopment Analysis– A review. Eur J Oper Res ۲۵۱(۱):۲–۲۱
۵۰. Dotoli M, Epicoco N, Falagario M, Sciancalepore F (۲۰۱۶) A stochastic cross–efficiency Data Envelopment Analysis approach for supplier selection under uncertainty. Int Trans Oper Res ۲۳(۴):۷۲۵–۷۴۸